

УДК 539.3

О.О. Шкриль¹, канд. техн. наук

¹Київський національний університет будівництва і архітектури, Київ
Повітрофлотський просп., 31, м. Київ. 03680

ВИЗНАЧЕННЯ КОЕФІЦІЄНТІВ ІНТЕНСИВНОСТІ НАПРУЖЕНЬ В ДВОВИМІРНИХ ТІЛАХ ПРИ ТЕМПЕРАТУРНОМУ НАВАНТАЖЕННІ

На основі моментної схеми скінченних елементів (МССЕ) реалізована методика визначення коефіцієнтів інтенсивності напружень (КІН) в двовимірних тілах при дії температурного навантаження. Результати розв'язання тестових задач показують, що енергетичні методи визначення КІН є більш ефективними порівняно із прямим методом.

Ключові слова: Двовимірна задача, коефіцієнт інтенсивності напружень, температурне навантаження, метод скінченних елементів.

Вступ. Значна частина конструкцій енергетичних установок експлуатується в умовах дії температурного навантаження. З часом в деяких деталях таких конструкцій можуть виникати тріщини. Оцінка несучої здатності тіл з тріщинами виконується за величинами параметрів механіки руйнування. При дії температурних впливів, що супроводжуються лінійними деформаціями, серед таких параметрів найбільшого поширення здобув коефіцієнт інтенсивності напружень (КІН). При розв'язанні задач із визначення КІН використовуються переважно чисельні методи. Серед них найбільшого поширення здобув метод скінченних елементів (МСЕ). Як показали проведені дослідження [2, 10] ефективним варіантом МСЕ є моментна схема скінченних елементів (МССЕ) [10]. Тому актуальним є реалізація методики визначення КІН в двовимірних тілах під дією температурного навантаження на основі МССЕ. Для визначення КІН застосовуються переважно енергетичні або прямі методи. До енергетичних методів можна віднести метод піддатливості та J -інтеграла Черепанова-Райса.

Метод піддатливості. При деформуванні просторового тіла з початковою тріщиною, напружено-деформований стан (НДС) в околі вершини тріщини та можливість розвитку тріщини обумовлюється співвідношенням між роботою зовнішніх сил або потенційною енергією пружних деформацій, та поверхневою енергією тіла Π . Передбачаючи, що робота зовнішніх сил повністю витрачається на утворення нової поверхні тріщини, для густини енергії деформації G , що звільнюється при розкритті тріщини на величину dl , можна записати [1, 8, 11, 12]:

$$\begin{aligned}\sigma^{11} &= \frac{K_I}{\sqrt{2\pi r}} \cos \frac{\theta}{2} \left(1 + \sin \frac{\theta}{2} \sin \frac{3\theta}{2}\right), \\ \sigma^{12} &= \frac{K_I}{\sqrt{2\pi r}} \sin \frac{\theta}{2} \cos \frac{\theta}{2} \cos \frac{3\theta}{2}, \\ \sigma^{22} &= \frac{K_I}{\sqrt{2\pi r}} \cos \frac{\theta}{2} \left(1 - \sin \frac{\theta}{2} \sin \frac{3\theta}{2}\right),\end{aligned}\quad (5)$$

де r, θ – полярні координати точки визначення КІН (рис. 2).

При постійній температурі T в околі вершини тріщини зв'язок між переміщеннями і K_I описується формулою [1, 8] :

$$u_i = \frac{K_I}{2G} \sqrt{\frac{r}{2\pi}} \cdot F_i(\theta) + \alpha' \cdot k \cdot T y^i, \quad (6)$$

де G – модуль зсуву; ν – коефіцієнт Пуасона; $\alpha' = \alpha$ – коефіцієнт лінійного розширення у випадку плоского напруженого стану, $\alpha' = \alpha(1+\nu)$ для плоскої деформації.

$$F_1(\theta) = \sin \frac{\theta}{2} \left(k + 1 - 2 \cos^2 \frac{\theta}{2}\right),$$

$$F_2(\theta) = \cos \frac{\theta}{2} \left(k - 1 + 2 \sin^2 \frac{\theta}{2}\right),$$

де $k = 3 - 4\nu$ для плоскої деформації, $k = (3 - \nu)/(1 + \nu)$ для плоского напруженого стану. Реалізація методики визначення КІН прямим методом в дискретних моделях МСЕ описана в монографії [2].

Тестові задачі. Апробація методики визначення коефіцієнта інтенсивності напружень (КІН) при наявності температурного навантаження спочатку була проведеною при розв'язанні задачі про визначення КІН для порожнистого циліндра з середнім радіусом $R_m = 50 \text{ см}$, висотою $2h = 100 \text{ см}$, товщиною стінки $t = 10 \text{ см}$ та з зовнішньою кільцевою тріщиною глибиною $l = 5 \text{ см}$, фронт якої збігається із середнім радіусом поперечного перерізу циліндра (рис. 3).

На внутрішній та зовнішній поверхнях циліндра підтримуються постійні температури. Розподіл температури по товщині стінки описується логарифмічним законом:

$$T(r) = \Delta T \cdot \ln \left(\frac{R_m + t/2}{r} \right) / \ln \left(\frac{R_m + t/2}{R_m - t/2} \right), \quad (7)$$

де $\Delta T = 100^\circ$ – перепад температури по товщині стінки.

Враховуючи геометричні розміри циліндра та значення перепаду температури формула (7) набуде вигляду:

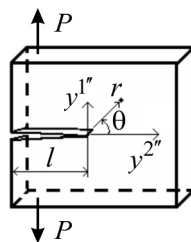


Рис. 2. Тріщина нормального відриву

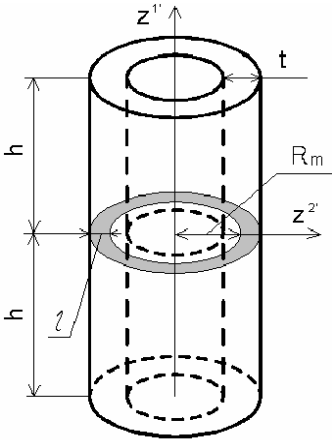


Рис. 3. Порожнистий циліндр з зовнішньою тріщиною

$$T(r) = 100 \cdot \ln(55/r) / \ln(11/9).$$

Визначення КІН прямим методом виконується за значеннями переміщень в околі вершини тріщини:

$$K_I = \frac{u_1 - \alpha \cdot (1 + \nu) \cdot T \cdot x^1}{\sin \frac{\theta}{2} (2 - 4\nu + \cos \theta)} \sqrt{\frac{2\pi}{r}} \cdot 2G. \quad (8)$$

Значення температури T визначається за формулою (7), а x^1 є координатою точки визначення КІН в системі координат тріщини.

В якості еталонного прийнято результати наведені в [8], де величина КІН подається із використанням безрозмірного множника

$$F = \frac{K_I}{\alpha \cdot \Delta T \cdot E \cdot \sqrt{\pi \cdot l}}, \text{ який залежить від}$$

відносної глибини тріщини i в розглядуваному випадку при $l/t=0,5$ становить 0.55.

$$K_I^{em} = F \cdot \alpha \cdot \Delta T \cdot E \cdot \sqrt{\pi \cdot l} = 0.55 \cdot 1 \cdot 10^{-5} \cdot 100 \cdot 1 \cdot \sqrt{3 \cdot 14 \cdot 5} = 2.179 \cdot 10^{-3} \text{ кз/см}^{3/2}.$$

Скінченно-елементна модель (СЕМ) побудована в осях $z^1 - z^2$ та складається з чотирьох сіткових фрагментів (рис. 4,а). Згідно із наданими в [2] рекомендаціями при побудові дискретної моделі розміри СЕ привершинної області прийняті 1/10 довжини тріщини (СЕМ №1). Число скінчених елементів – 230, кількість невідомих складає 528. Для забезпечення збіжності НДС в другій дискретній моделі розміри скінчених елементів в привершинній області було зменшено до 1/20 довжини тріщини (СЕМ №2, рис. 4,б). Кількість невідомих СЕМ №2 становить 1320, число скінчених елементів – 602. Результати визначення $K_I(u)$ [7] як по області так і по вузлу, що є найближчим до вершини тріщини, добре узгоджуються з результатами, отриманими іншими авторами [8] (табл. 1).

Таблиця 1

	СЕМ №1	СЕМ №2
$K_I^{обл}(u) \text{ (кз/см}^{3/2}\text{)}$	2.0172×10^{-3}	1.98×10^{-3}
$K_I(u)$	2.1313×10^{-3}	2.0892×10^{-3}

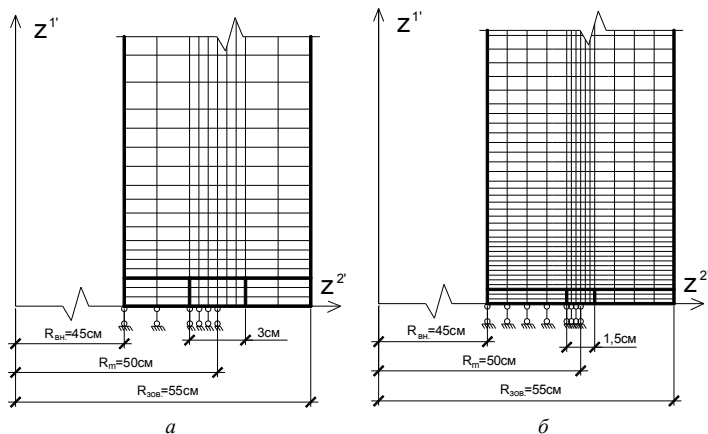


Рис. 4. СЕМ №1(а) і №2 (б) для розрахунку КІН в порожнистому циліндрі

Наступним тестовим прикладом була задача про деформування довгого товстостінного циліндра із поперечною тріщиною (рис. 5).

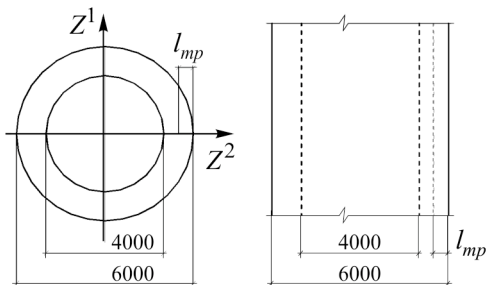


Рис. 5. Геометрична схема товстостінного циліндра із поперечною тріщиною

Матеріал циліндра виготовлений зі сталі 38ХНЗМФА, для якої модуль пружності $E=210 \text{ ГПа}$, коефіцієнт Пуасона $\nu=0.3$, коефіцієнт лінійного розширення $\alpha=13.5 \cdot 10^{-6} \text{ град}^{-1}$. Радіальний розподіл температури описується логарифмічним законом:

$$T = T_1 + (T_2 - T_1) \frac{\ln(r/r_1)}{\ln(r/r_2)},$$

де T, r - температура та радіус поточної точки; T_1, r_1, T_2, r_2 - температури та радіуси відповідно внутрішньої та зовнішньої поверхонь циліндра. $T_1=100 \text{ град}$, $T_2=0$, $r_1=2 \text{ м}$, $r_2=3 \text{ м}$. Довжина тріщини $l_{mp}=0.5 \text{ м}$.

Дискретні моделі із врахуванням симетрії розроблені для половини циліндру. Як і в попередній тестовій задачі, в околі вершини тріщини SE являють собою квадрати із розмірами $l_{el}=l_{mp}/10$ (рис. 6,а) та $l_{el}=l_{mp}/20$ (рис. 6,б).

На відміну від попередньої задачі обчислення КІН проводилось як

прямим методом так і енергетичним (методом піддатливості [2], та через величини J -інтеграла [3-6]):

Значення КІН обчислене методом піддатливості для сітки із розмірами СЕ в околі вершини тріщини $l_{ел} = l_{mp}/20$ було прийнятим за еталонне. Як можна побачити із результатів (табл. 2) три метода дають майже однакові значення КІН.

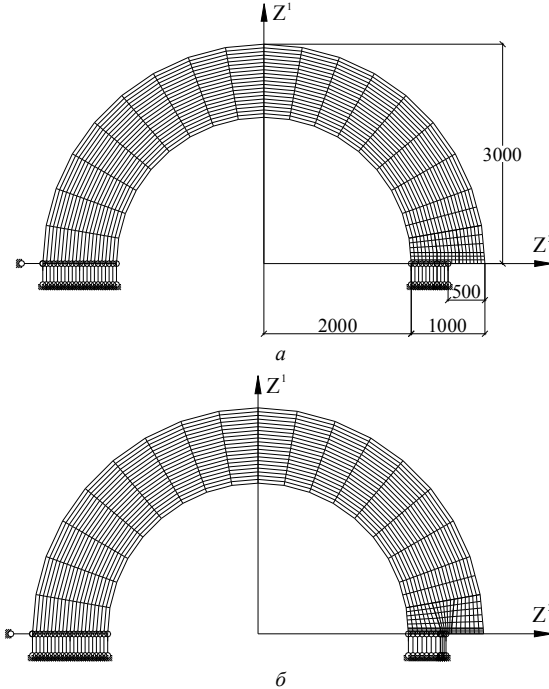


Рис. 6. Дискретні моделі циліндра з розмірами елементів в привершинній зоні

$$l_{ел} = l_{mp}/10 \text{ (а)}, \quad l_{ел} = l_{mp}/20 \text{ (б)}$$

Таблиця 2

$\frac{l_{mp}}{l_{ел}}$	Прямий метод $K_I(u)$ (МПа $\sqrt{м}$)				Метод реакцій		Метод піддатливості
	по обл. $K_I(u)$	$\delta(\%)$	по 1 т. $K_I(u)$	$\delta(\%)$	$K_I(J)$	$\delta(\%)$	$K_I(G)$
10	248	4.4	234.7	1.2	235.4	0.9	235.9
20	238.4	0.4	231.6	2.5	237.4	0.1	237.6

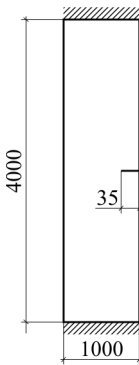


Рис. 7

Наступною тестовою задачею була прямокутна пластина з боковим надрізом жорстко защемлена по краям, що рівномірно охолоджується на величину перепаду температур $\Delta T = 100 \text{ град}$ (рис. 7).

Фізико-механічні властивості аналогічні попередній тестовій задачі. Із врахуванням симетрії дискретні моделі розроблені для половини пластини. На рис. 8 показані дискретні моделі в яких розміри СЕ в околі вершини тріщини складають відповідно $l_{el} = l_{mp} / 10$ та $l_{el} = l_{mp} / 20$. Результати розрахунку показують, що як і в попередній задачі метод піддатливості та метод реакцій дають практично однаковий результат. Відмінність результатів прямого методу знаходиться в межах 5 відсотків. В

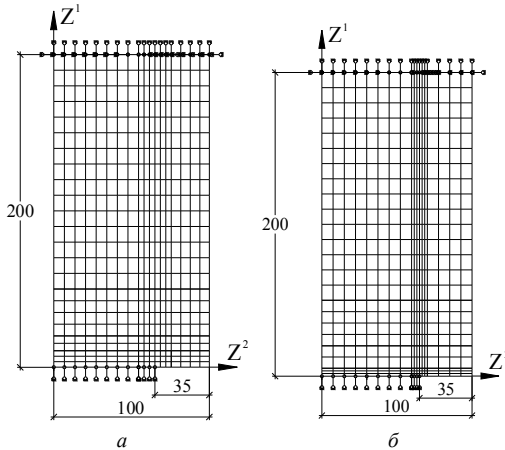


Рис. 8. Дискретні моделі пластини з боковим надрізом

роботі [8] наведений розв'язок даної задачі аналітичним методом та із застосуванням СЕ бази ANSYS. В ANSYS обчислення КІН виконувалось прямим методом за величиною переміщення у вузлі, що є найближчим від вершини тріщини, та енергетичним методом – за величиною J -інтеграла. Отримані результати відрізняються від наведених в табл. 3 в межах 3%.

Таблиця 3

$\frac{l_{mp}}{l_{el}}$	Прямий метод $K_I(u)$ ($\text{МПа}\sqrt{\text{м}}$)				Метод реакцій		Метод піддатливості
	по обл. $K_I(u)$	$\delta(\%)$	по 1 т. $K_I(u)$	$\delta(\%)$	$K_I(J)$	$\delta(\%)$	$K_I(G)$
10	519.8	4.8	515.8	5.6	543.4	0.5	543.1
20	520.6	4.7	533.4	2.4	546.2	0	546.3

Отримані результати показують високу ефективність розробленої ме-

тодики визначення КІН в тілах з тріщинами під дією температурного навантаження. Енергетичний метод визначення КІН виявився більш ефективним порівняно із прямим методом.

СПИСОК ЛІТЕРАТУРИ

1. *Атлури С.* Вычислительные методы в механике разрушения: Пер. с англ. – М.: Мир, 1990. – 392 с.
2. *Баженов В.А., Гуляр О.І., Пискунов С.О., Сахаров О.С.* Напіваналітичний метод скінченних елементів в задачах руйнування просторових тіл: Монографія – К.: КНУБА, 2005. – 298 с.
3. *Баженов В.А., Гуляр А.И., Пискунов С.О., Сахаров А.С., Шкрыль А.А., Максимюк Ю.В.* Решение линейных и нелинейных пространственных задач механики разрушения на основе полуаналитического метода конечных элементов. Сообщение 1. Теоретические основы и исследование эффективности конечно-элементной методики решения пространственных задач механики разрушения // Проблемы прочности, 2011. – №1. – С. 27–39.
4. *Баженов В.А., Гуляр А.И., Пискунов С.О., Сахаров А.С., Шкрыль А.А., Максимюк Ю.В.* Решение линейных и нелинейных пространственных задач механики разрушения на основе полуаналитического метода конечных элементов. Сообщение 2. Методика определения инвариантного J-интеграла в дискретных моделях МКЭ // Проблемы прочности, 2011. – №2. – С.17–32.
5. *Баженов В.А., Гуляр А.И., Пискунов С.О., Сахаров А.С., Шкрыль А.А.* Метод определения инвариантного J-интеграла в конечно-элементных моделях призматических тел // Прикладная механика. 2008, 44, №12 – с.70-82.
6. *Баженов В.А., Гуляр О.І., Пискунов С.О., Шкрыль О.О., Богдан Д.В.* Модифікований метод реакцій для визначення J-інтеграла в задачах пружнопластичного деформування просторових призматичних тіл // Опір матеріалів і теорія споруд: наук.-тех. збірн. – К.: КНУБА, 2011. – Вип. 88. – С.18-23
7. *Пискунов С.О., Гречух Н.А., Остапенко Р.М.* Обчислення КІН в просторових тілах обертання при температурному навантаженні // Опір матеріалів і теорія споруд: наук.-тех. збірн. – К.: КНУБА, 2006. – Вип. 80. – С.38-53
8. *Морозов Е.М., Никищев Г.П.* Метод конечных элементов в механике разрушения. – М.: “Наука”, 2007. – 256 с.
9. *Морозов Е.М., Муйземек А.Ю., Шадский А.С.* ANSYS в руках инженера: Механика разрушения. – М.: Ленанд, 2008. – 456с.
10. *Сахаров А.С.* Метод конечных элементов в механике твердых тел / А.С. Сахаров, В.Н. Кислокий, В.В. Киричевский. – К.: Вища шк., 1982. – 480 с.
11. *Черепанов Г.П.* Механика хрупкого разрушения. – М.: Наука, 1974. – 640с.
12. *Anderson T.L.* Fracture mechanics: Fundamentals and Applications, Third Edition.-CRC Press, 2005. - 640p.

REFERENCES

1. *Atluri S.* Vichislitelnye metody v mehanice razrusheniya (Computation Methods in the Mechanics of Fracture). M.: Mir, 1990. – 392 с.
2. *Bazhenov V.A., Gulyar A.I., Piskunov S.O., Saharov A.S.* Napivanalitichnyi metod skinchennykh elementiv v zadachah ruynuvannya prostorovykh til (Semianalytic finite element method in problems of fracture spatial bodies): Monografiya – K.: KNUBA, 2005. – 298 с.
3. *Bazhenov V.A., Gulyar A.I., Piskunov S.O., Saharov A.S., Shkriyl' A.A., Maksimyuk Yu.V.* Reshenie lineynykh i nelineynykh prostanstvennykh zadach mehaniki razrusheniya na osnove poluanaliticheskogo metoda konechnykh elementov. Soobchenie 1. Teoreticheskie osnovi i issledovanie efectivnosti konechno-elementnoy metodiki resheniya prostranstvennykh zadach mehaniki razrusheniya (Linear

- and nonlinear fracture mechanic's problem solution using semianalytic finite element method: Part 1. Theoretical foundation and research of efficiency of finite element technique for fracture mechanic's problem solution). Strengths of materials, 2011, № 1, 27–39.
4. *Bazhenov V.A., Gulyar A.I., Piskunov S.O., Saharov A.S., Shkriil' A.A., Maksimyyuk Yu.V.* Reshenie lineynih i nelineynih prostranstvennyh zadach mehaniki razrusheniya na osnove poluanaliticheskogo metoda konechnykh elementov. Soobshchenie 2. Metodika opredeleniya invariantnogo J-integrala v discretnykh modeliyah MKE (Linear and nonlinear fracture mechanic's problem solution using semianalytic finite element method: Part 2. A technique for calculation of invariant of J-integral value in finite element model). Strengths of materials, 2011, № 2, 17–32.
 5. *Bazhenov V.A., Gulyar A.I., Piskunov S.O., Saharov A.S., Shkriil' A.A.* Metod opredeleniya invariantnogo J-integrala v konechno-elementnykh modeliyah prizmaticheskikh tel (Method for the determination of the invariant J-integral in the finite element model of prismatic bodies) // Prikladnaya mehanika. 2008, 44, №12– c.70-82.
 6. *Bazhenov V.A., Gulyar A.I., Piskunov S.O., Shkriil' A.A., Bogdan D.V.* Modificovaniy metod reaktsiy dlya viznachenniya J-integrala v zadachah pruzhnoplastichnogo deformuvannya prostorovykh prizmatichnykh til (A modified method for the determination of reaction J-integral in problems of elastoplastic deformation space pryzmatychnsyh bodies) // Opir materialiv i teoriya sporud. 2011. – Vip. 88. – C.18-23
 7. *Piskunov S.O., Grechuh N.A., Ostapenko R.M.* Obchislennya KIN v prostorovykh tilah oberannyya pri temperaturnomu navantazhenni (Calculation of SIF in spatial bodies of revolution under thermal load) // Opir materialiv i teoriya sporud, 2006. – Vip. 80. – C.38-53
 8. *Morozov E.M., Nikishkov G.P.* Metod konechnykh elementov v mehanike razrusheniya (Finite element method in fracture mechanics). – Moskow.: “Librocom”, 2010, 256 c.
 9. *Morozov E.M., Muzemnek A.Yu., Shadski A.S.* ANSYS v rukah inzhenera. Mehanika razrusheniya (ANSYS in the hands of the engineer: Fracture Mechanics). – M.: Lenand, 2008.-456p.
 10. *Saharov A.S.* Metod konechnykh elementov v mehanike tverdykh tel (The Finite Element Method in Mechanics of Solids) – K. : Bisha shk., 1982. – 480 c.
 11. *Cherepanov G.P.* Mehanika hrupkogo razrusheniya (Mechanics of brittle fracture). – Moskow.: Nauka, 1974. – 640 p
 12. *Anderson T.L.* Fracture mechanics: Fundamentals and Applications, Third Edition.-CRC Press, 2005. - 640p.

Стаття надійшла до редакції 29.08.2014 р.

Шкрыль А.А.

ОПРЕДЕЛЕНИЕ КОЭФИЦИЕНТОВ ИНТЕНСИВНОСТИ НАПРЯЖЕНИЙ В ДВУМЕРНЫХ ТЕЛАХ ПРИ ТЕМПЕРАТУРНОЙ НАГРУЗКЕ

На основе моментной схемы конечных элементов (МКЭ) реализована методика определения коэффициентов интенсивности напряжений (КИН) в двумерных телах под действием температурной нагрузки. Результаты решения тестовых задач показали, что энергетические методы определения КИН являются более эффективными по сравнению с прямым методом.

Ключевые слова: Двумерная задача, коэффициент интенсивности напряжений, температурная нагрузка, метод конечных элементов.

Shkriil' A.

DEFINITION STRESS INTENSITY COEFFICIENT TWO-DIMENSIONAL BODIES UNDER THERMAL LOAD

On the basis of the finite element scheme of the moment method (FEM) implemented method of determining the coefficients of stress intensity (K) in two-dimensional bodies under the action of temperature load. Results of test problems showed that the methods for determining the energy of K are more efficiency compared with the.

Keywords: two-dimensional bodies, stress intensity coefficient, thermal load, finite element method.